

УДК 543.42.062:539.183.2

Изменение ИК-спектров питьевой воды, талой воды из снега и тяжелой воды при облучении электронным потоком наносекундной длительности

В.М. Орловский, В.А. Панарин*

Институт сильноточной электроники СО РАН
634055, г. Томск, пр. Академический, 2/3

Поступила в редакцию 26.12.2017 г.

Исследуются спектры поглощения питьевой воды, талой воды из снега и тяжелой воды при облучении потоком электронов наносекундной длительности. При многократном облучении воды было зафиксировано изменение спектра поглощения вещества. Анализ спектров поглощения воды в ИК-диапазоне показал различия спектров поглощения облученной и необлученной воды.

Ключевые слова: наносекундный поток электронов, спектр поглощения воды в ИК-диапазоне, проводимость воды; nanosecond electron flow, water absorption spectrum in the infrared region, water conductivity.

Введение

Изменения структуры и свойств воды под влиянием внешних воздействий изучались во многих работах [1–3]. Особенности химического строения молекул воды создают благоприятные возможности для образования направленных водородных связей между соседними молекулами H_2O и связывания их в пространственные кластеры. Кластеры воды играют важную роль в атмосферных, биологических и химических процессах, поэтому диагностика связей воды в жидкой фазе важна при решении различных технологических и биологических задач. В [4–7] проводились исследования воды и водных растворов, в том числе и в диффузном барьере разряда, формируемом предъионизацией быстрыми электронами при коротком фронте импульса напряжения. Приводятся изменения спектра ИК-излучения после облучения в разряде, которые связывают с изменением компоновки молекул воды в кластеры.

Цель данной работы — исследование влияния сильноточного потока электронов наносекундной длительности на проводимость и спектральные характеристики питьевой воды, талой воды из снега и тяжелой воды, представляющей собой смесь молекул H_2O , HDO и D_2O [8, 9].

1. Аппаратура и методики измерений

Исследования проводились на экспериментальной установке с радиационно-химическим реактором, созданным на базе стандартного рентгеновского аппарата НОРА. Импульс напряжения от генератора наносекундных импульсов аппарата подавался

через передающую линию на отпаянный вакуумный диод ИМА-150Э. За фольгой вакуумного диода на площади диаметром 15 мм формировался поток электронов с площадью сечения $1,77 \text{ см}^2$, плотностью $\sim 150 \text{ A/cm}^2$ и длительностью 2 нс; частота повторения импульсов была 4 Гц. Распределение по энергиям электронов, выведенных из вакуумного диода, имело вид, характерный для ускорителей линейного типа, с максимумом 90 кэВ. Значения суммарной энергии электронов за импульс, измеренное с помощью калориметра ИМО-2 и рассчитанное из распределения электронов по энергиям, достаточно хорошо совпадали и составляли $\sim 0,084 \text{ Дж/имп}$. Облучение жидкостей производилось в кювете из нержавеющей стали в течение 10–30 мин. Доза облучения для воды [10] составляла $1\text{--}2 \cdot 10^6 \text{ Гр}$. ИК-спектры поглощения измерялись с помощью фурье-спектрометра ФТ-801 с широкодиапазонным инфракрасным микроскопом МИКРАН-2. Проводимость воды измерялась прибором TDS&EC (Hold).

2. Результаты экспериментов и их обсуждение

Известно, что реакционная способность воды и водных растворов может существенно меняться под воздействием различных факторов (температуры, ультразвука, переменного и постоянного магнитных полей, электромагнитных волн, инфразвука, акустических волн и т.д.). К настоящему времени накоплено достаточно много экспериментальных данных, убедительно доказывающих эффективность применения магнитного поля для реализации различных физико-химических процессов. Молекулы воды, их ассоциаты, гидратированные ионы совершают беспрерывные колебательные движения, которым соответствует определенный колебательный уровень.

* Виктор Михайлович Орловский (orlovskii@loj.hcei.tsc.ru); Виктор Александрович Панарин (panarin@yandex.ru).

При воздействии на эту систему полем оптимальной частоты возможен резонанс с определенной группой молекул и ассоциатов с возникновением квантов энергии, способных деформировать связи, изменять структурную характеристику системы. Среди наиболее информативных и простых в техническом исполнении методов обнаружения изменения структурных свойств воды — ИК и УФ спектроскопические методы исследования. В [4, 5] показано, что в диффузном объемном разряде, формируемом предъионизацией быстрыми электронами, при коротком фронте импульса напряжения под воздействием разряда ИК-спектры воды и водных растворов изменяются. При этом полоса валентных колебаний OH-групп расширилась. Предполагается, что это обусловлено изменением компоновки воды в кластеры. Вместе с тем образование ассоциатов воды, упорядочение трехмерной сетки водородных связей происходит за счет преимущественного образования сильных водородных связей.

Рассмотрим ИК-спектры поглощения питьевой воды (кривая 1), талой воды из снега (2) и тяжелой воды (3), измеренные в ходе эксперимента в слое жидкости толщиной 10–15 мкм (рис. 1).

Видно, что в спектре питьевой воды (1) присутствуют частоты валентной симметричной и валентной асимметричной полос и обертонов деформационной полосы в диапазоне 3673–2923 см⁻¹ без явно выраженных максимумов; деформационной полосы с максимумом 1644 см⁻¹; составной крутильной и деформационной полос с максимумом 2125 см⁻¹ и либрационной полосы с максимумом 750 см⁻¹.

В спектре талой снежной воды (2) можно видеть частоты валентной симметричной и валентной асимметричной полос и обертонов деформационной полосы молекулы H₂O в диапазоне 3673–2942 см⁻¹ (без явно выраженных максимумов); деформационной полосы H₂O с максимумом 1644 см⁻¹; составной крутильной и деформационной полос с максимумом 2040 см⁻¹ и либрационной полосы с максимумом 750 см⁻¹.

В спектре тяжелой воды (3) наблюдаются частоты валентной симметричной и валентной асимметричной полос молекулы H₂O и валентного коле-

бания OH молекулы HDO — полоса поглощения OH 3942–3076 см⁻¹ (максимум в районе 3423 см⁻¹); обертонов деформационного колебания молекулы HDO — полоса поглощения OH 3076–2886 см⁻¹ (максимум ~2935 см⁻¹); суммы симметричной и асимметричной полос валентных колебаний молекулы D₂O и валентного колебания OD молекулы HDO — полоса поглощения OD 2692,2–2384,6 см⁻¹ (максимум ~2520 см⁻¹); деформационных колебаний молекул H₂O 1740–1614 см⁻¹ (максимум ~1648 см⁻¹), HDO 1615–1384,6 см⁻¹ (максимум ~1466,5 см⁻¹), D₂O 1307,7–1100 см⁻¹ (максимум ~1211,5 см⁻¹).

На рис. 2 приведены ИК-спектры поглощения воды до (кривая 1) и после облучения потоком электронов (кривая 2).

Изменения спектра поглощения питьевой воды (рис. 2, а) после облучения потоком электронов в воздухе в течение 20 мин (кривая 2) состояли в том, что полоса валентных колебаний OH-групп расширилась и стала 3690–2960 см⁻¹, а деформационная полоса H₂O с максимумом 1644 см⁻¹, составные крутильная и деформационная полосы с максимумом 2125 см⁻¹ и либрационная полоса с максимумом 750 см⁻¹ увеличили поглощение при сохранении ширины спектра. Проводимость питьевой воды (25,1 °C) выросла с 283 до 690 мкСм/см после облучения.

Инфракрасный спектр поглощения талой воды (рис. 2, б) после облучения в течение 20 мин (кривая 2) изменился таким образом, что полоса валентных колебаний OH-групп расширилась на 10 см⁻¹; деформационная полоса H₂O с максимумом 1644 см⁻¹, составные крутильная и деформационная полосы с максимумом 2040 см⁻¹ и либрационная полоса с максимумом 750 см⁻¹ практически не изменились ни по ширине, ни по амплитуде. Эти изменения коррелируют с изменениями дистиллированной воды, облученной потоком электронов наносекундной длительности [11]. Проводимость талой снежной воды (27 °C) составляла 56 мкСм/см до облучения и 240 мкСм/см после облучения.

Изменения спектра поглощения тяжелой воды (рис. 2, в) после облучения потоком электронов в течение разного времени (кривые 2–4) заключались

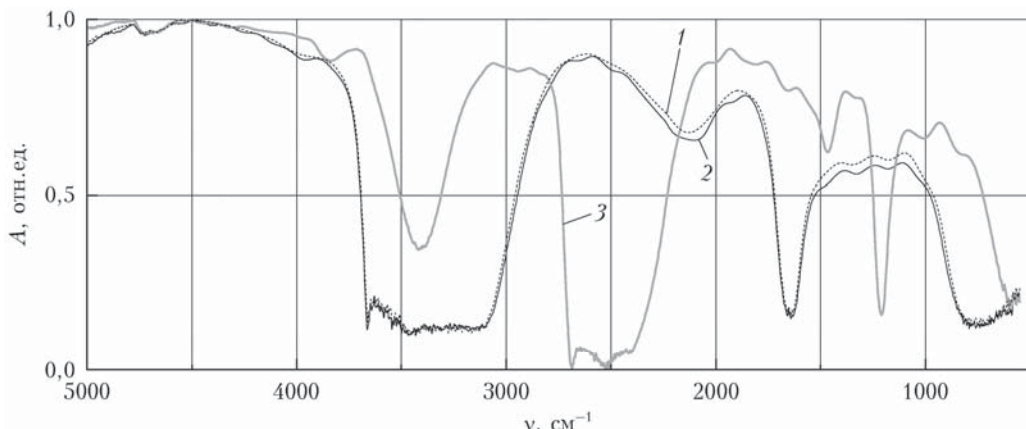


Рис. 1. ИК-спектры питьевой воды (1), талой воды из снега (2) и тяжелой воды (3)

Изменение ИК-спектров питьевой воды, талой воды из снега и тяжелой воды...

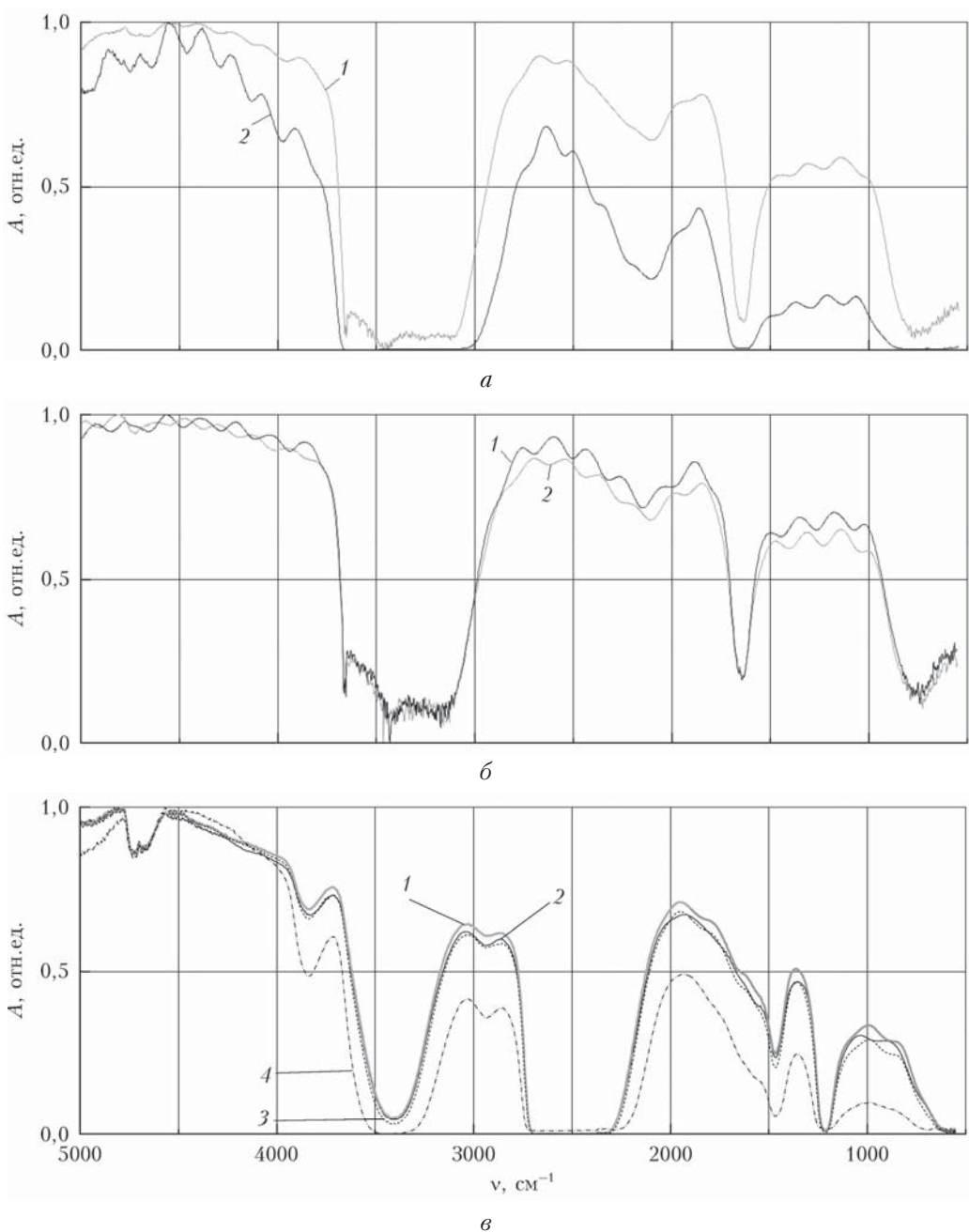


Рис. 2. Спектры питьевой воды до (1) и после обработки потоком электронов в течение 20 мин (2) (а); талой воды из снега до (1) и после обработки потоком электронов в течение 20 мин (2) (б); тяжелой воды до (1) и после обработки потоком электронов в течение 10 (2), 20 (3) и 30 мин (4) (в)

в следующем: полоса валентных колебаний OH-групп молекул H_2O и HDO расширилась и стала $4040\text{--}3040 \text{ см}^{-1}$; полоса поглощения OH обертона деформационного колебания молекулы HDO стала более интенсивной при сохранении диапазона ($3150\text{--}2850 \text{ см}^{-1}$) и положения максимума ($\sim 2935 \text{ см}^{-1}$); сумма симметричной и асимметричной валентных колебаний молекулы D_2O и валентного колебания (OD) молекулы HDO — полоса поглощения OD не изменились ни по ширине, ни по положению максимума; максимум деформационных колебаний молекул H_2O и HDO сместился в сторону более высо-

ких частот, а максимум деформационного колебания молекулы D_2O остался неизменным. Проводимость тяжелой воды (27°C) увеличилась после облучения с 13 до 107 мкСм/см .

Рис. 2, в показывает изменения спектров поглощения без привязки ко времени облучения. Зависимости от времени облучения полуширины частот валентной симметричной и валентной асимметричной полос молекулы H_2O и валентного колебания OH молекулы HDO — полосы поглощения OH (кривая 1) и полуширины частот валентного колебания OD молекулы HDO — полосы поглощения OD

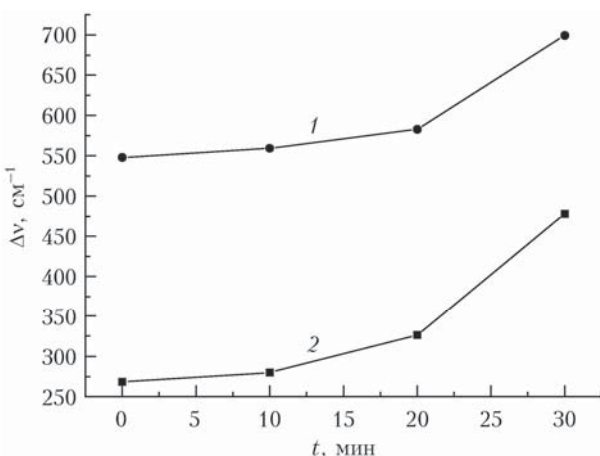


Рис. 3. Зависимость от времени облучения полуширины частот валентной симметричной полосы, валентной асимметричной полосы молекулы H_2O и валентного колебания ОН молекулы HDO — полосы поглощения OH (1); валентного колебания OD молекулы HDO — полосы поглощения OD (2)

(кривая 2) приведены на рис. 3. Эти зависимости носят нелинейный характер. При увеличении времени облучения наблюдается рост кривых.

Заключение

Показано, что при многократном облучении питьевой воды, талой воды из снега и тяжелой воды потоком электронов наносекундной длительности наблюдаются изменение спектров поглощения и увеличение проводимости. Зависимости полуширин частот валентной симметричной полосы, валентной асимметричной полосы молекулы H_2O и валентного колебания OH молекулы HDO — полосы поглощения OH, валентного колебания OD молекулы HDO — полосы поглощения OD от времени облучения носят нелинейный характер и растут с увеличением времени облучения.

Таким образом, облучение воды потоком электронов можно использовать для модификации воды и водных растворов.

V.M. Orlovskii, V.A. Panarin. Changes in the IR spectra of drinking water, melt water from snow, and heavy water by nanosecond electron beam irradiation.

The absorption spectra of drinking water, melt water from snow, and heavy water during irradiated by nanosecond electron flux are studied. Under repeated irradiation of water, a change in the absorption spectrum of a substance was observed. The analysis of water absorption spectra in the IR range showed differences between the absorption spectra of irradiated and non-irradiated water.

Работа выполнена в рамках государственного задания ИСЭ СО РАН по теме № 9.5.2.

1. Bessonova A.P., Stas I.E. Effect of high-frequency electromagnetic fields on physical chemist properties of water and its spectral characteristics // Polzunovskii vestnik. 2008. N 3. P. 305–309.
2. Classen V.I. Magnetization of water systems. M.: Chemistry, 1973. 239 p.
3. Zenin S.V., Tyaglov B.V. Hydrophobic model of the structure of water molecules associates // Zh. Fiz. Himii. 1994. V. 68, N 4. P. 636–641.
4. Orlovskii' V.M., Panarin V.A., Shulepov M.A. Change water, aqueous solutions and dielectric films diffuse discharge being generated preionization by fast electrons when a voltage pulse shorter front // Tech. Phys. Lett. 2015. V. 41, N 23. P. 81–88.
5. Orlovskii' V.M., Panarin V.A., Shulepov M.A. The formation of diffuse discharge by short-front nanosecond voltage pulses and the modification of dielectrics in this discharge // Tech. Phys. Lett. 2014. V. 40, N 7. P. 645–648.
6. Orlovskii' V.M., Alekseev S.B., Tarasenko V.F. Carbon dioxide lazer with an e-beam-initiated discharge produced in a pressure up to 5 atm // Quantum Electron. 2011. V. 41, N 11. P. 1033–1036.
7. Луговской А.А., Поплавский Ю.А., Сердюков В.И., Синица Л.Н. Экспериментальная установка для спектрофотометрического исследования кластеров воды в наноразмерах // Оптика атмосф. и океана. 2011. Т. 24, № 5. С. 418–424; Lugovskoy A.A., Poplavskii Yu.A., Serdyukov V.I., Sinitsa L.N. Experimental setup for spectrophotometric study of water clusters in nanoporous material // Atmos. Ocean. Opt. 2011. V. 24, N 5. P. 502–507.
8. Voronina T.V., Semenov V.G. Organization of the control of the isotopic composition of heavy water at PIK reactor by IR-spectrometry // Sci. Comput. Instrum. 2012. V. 22, N 1. P. 84–90.
9. Voronina T.V., Slobodov A.A. Spectroscopic and thermodynamic study of heavy water // J. Opt. Technol. 2011. V. 78, N 3. P. 3–9.
10. Pikaev A.K. Modern Radiation Chemistry. The radiolysis of gases and liquids. M: Science, 1986. 440 p.
11. Orlovskii' V.M., Panarin V.A. Dynamics of changes in the infrared spectrum of distilled and heavy water upon exposure to an electron beam of nanosecond duration // Tech. Phys. Lett. 2017. V. 43, N 12. P. 1054–1056.